

# ORIGINAL ARTICLE

## *Phylogenetic and In Silico Analysis of Interferon Beta-1b Protein*

Seyed Ziaeddin Mirhoseini<sup>1</sup>,  
Zahra Pezeshkian<sup>2</sup>,  
Shahrokh Ghovvati<sup>3</sup>

<sup>1</sup> Professor, Department of Animal Science, Faculty of Agriculture, University of Guilan, Rasht, Guilan, Iran

<sup>2</sup> PhD Student in Molecular Genetics, Faculty of Agriculture, University of Guilan, Rasht, Guilan, Iran

<sup>3</sup> Assistant Professor, Department of Biotechnology, Faculty of Agriculture, University of Guilan, Rasht, Guilan, Iran

(Received August 8, 2016 ; Accepted December 26, 2016)

### **Abstract**

**Background and purpose:** Interferon beta-1b recombinant protein is used for reducing the relapse rate and treatment in patients with Multiple sclerosis (MS). In this study, phylogenetic and in silico analysis of interferon beta-1b were conducted by servers and bioinformatics tools to predict its structural potential.

**Materials and methods:** Physiological and physico-chemical characteristics of interferon beta-1b protein were evaluated by ProtScale and ProtParam servers, respectively. The 3D structure of the interferon beta-1b protein and its interaction with other proteins were studied using Swiss-Model server and the STRING platform, respectively.

**Results:** The results of the phylogenetic analysis showed that the human interferon beta protein is closest to Daubenton's bat in the amino acid structure by 96%. The in silico analysis of interferon beta 1b protein implied the existence of signal peptide and lack of the transmembrane domain. The results of post-translational modification predictions showed that protein acetylation and phosphorylation may occur in some regions of interferon beta-1b protein. The analysis of the protein networking of interferon beta-1b revealed more interactions between this protein and interferon receptor 1 (IFNAR1) and interferon regulatory factor 3 (IRF3).

**Conclusion:** In Silico analysis showed that interferon beta-1b, is a protein with effective regulatory role but unstable in vitro. This bioinformatic analysis of interferon beta-1b protein can provide the groundwork for practical tests and future functional studies.

**Keywords:** interferon beta-1b, bioinformatics tools, multiple sclerosis, in silico analysis, protein-protein interaction.

J Mazandaran Univ Med Sci 2017; 26 (145): 70-82 (Persian).

# تجزیه و تحلیل فیلوجنتیکی و آنالیز In Silico پروتئین اینترفرون بتا ۱ بی

سید ضیاء الدین میرحسینی<sup>۱</sup>

زهرا پژشکیان<sup>۲</sup>

شاهرخ قوتی<sup>۳</sup>

## چکیده

**سابقه و هدف:** پروتئین اینترفرون بتا ۱ بی، جهت درمان بهبود دهنده بیماری MS و کاهش تعداد حملات در بیماران استفاده می‌گردد. روابط فیلوجنتیکی و آنالیز بیوانفورماتیکی پروتئین اینترفرون بتا ۱ بی به صورت In Silico با هدف پیش‌بینی پتانسیل ساختاری اش توسط سرورها و ابزارهای بیوانفورماتیکی معتبر مورد پیش‌بینی قرار گرفت.

**مواد و روش‌ها:** ویژگی‌های فیزیولوژیکی و فیزیکوشیمیابی پروتئین اینترفرون بتا ۱ بی نیز توسط سرورهای ProtParam و ProtScale مورد بررسی قرار گرفت. ساختار سه بعدی پروتئین اینترفرون بتا ۱ بی با استفاده از سرور Swiss-Model و اثرات متقابل آن با پروتئین‌های دیگر توسط پلت فرم STRING بررسی شد.

**یافته‌ها:** نتایج تجزیه و تحلیل درخت تکاملی نشان دادند که پروتئین اینترفرون بتای انسانی بیشترین قرابت را از لحاظ ساختار اسید‌آmine ای به میزان ۹۶ درصد به خفاش آبی دارد. نتایج بررسی In Silico ساختار پروتئین اینترفرون بتا ۱ بی، حاکی از وجود توالی راهنمای عدم وجود منطقه تراوغشایی در این پروتئین بود. نتایج پیش‌بینی تغییرات پس از ترجمه نشان دادند که در مناطقی از این پروتئین امکان استیلاسیون و فسفریلاسیون محتمل می‌باشد. نتایج تجزیه و تحلیل شبکه پروتئینی نشان داد که پیش‌ترین تقابل بین پروتئین اینترفرون بتا ۱ بی و پروتئین گیرنده اینترفرون ۱ و فاکتور تنظیمی ۳ اینترفرون وجود دارد.

**استنتاج:** به طور کلی نتایج نشان دادند که پروتئین اینترفرون بتا ۱ بی، پروتئینی با نقش تنظیمی موثر اما ناپایدار در شرایط آزمایشگاهی است. آنالیزهای بیوانفورماتیکی انجام شده روی پروتئین اینترفرون بتا ۱ بی زمینه را برای مطالعات عملکردی آینده فراهم می‌کند.

**واژه‌های کلیدی:** اینترفرون بتا ۱ بی، ابزارهای بیوانفورماتیکی، اسکلروز چندگانه (MS)، آنالیز In Silico، اثر متقابل پروتئین-پروتئین

## مقدمه

بین سلول‌ها مورد استفاده قرار می‌گیرند تا موجب فعل نمودن دفع حفاظتی سیستم ایمنی بدن شوند که منجر به ریشه کنی عوامل بیماری‌زا می‌شود<sup>(۱)</sup>. اینترفرون بتا ۱ بی یک آنالوگ (۱۶۵ اسید‌آmine، ۱۸۵۰۰ دالتون) از

اینترفرون‌ها پروتئین‌های ترشحی هستند که موجب ایجاد یک حالت ضد ویروس در سلول‌های هدف خود می‌شوند<sup>(۲)</sup>. آن‌ها متعلق به گروه بزرگی از پروتئین‌ها به نام سایتوکاین‌ها هستند، مولکول‌هایی که برای ارتباط

E-mail: Ghovvati@guilan.ac.ir

مؤلف مسئول: شاهرخ قوتی-رشت: کیلومتر ۵ بزرگراه خلیج فارس، دانشگاه گیلان

۱. استاد، گروه علوم دامی، دانشکده کشاورزی، دانشگاه گیلان، رشت، ایران

۲. دانشجوی دکتری تخصصی ژنتیک مولکولی، دانشکده کشاورزی، دانشگاه گیلان، رشت، ایران

۳. استادیار، گروه بیوتکنولوژی، دانشکده کشاورزی، دانشگاه گیلان، رشت، ایران

تاریخ دریافت: ۱۳۹۵/۵/۱۸ تاریخ ارجاع چهت اصلاحات: ۱۳۹۵/۹/۱۶ تاریخ تصویب: ۱۳۹۵/۱۰/۶

توده در بدن<sup>(۱۰)</sup> و بررسی اثرات ایمیونوژنتیکی<sup>(۱۱)</sup> این پروتئین انجام شده است. بهره برداری از توانایی و پتانسیل بالقوه ابزارهای بیوانفورماتیکی یک استراتژی قدرتمند برای صرفه جویی در هزینه و وقت می‌باشد. هدف از این مطالعه تجزیه و تحلیل تکاملی پروتئین ایترفرون بتا در پستانداران و آنالیز In silico آن به منظور پیش‌بینی پتانسیل ساختاری پروتئین ایترفرون بتا ۱ بی‌توسط ابزارهای بیوانفورماتیکی بود.

## مواد و روش‌ها

توالی‌ها و ترسیم درخت تکاملی تمام توالی‌های پروتئین ایترفرون بتا مربوط به گونه‌های مختلف پستانداران شامل: Homo sapiens (AAC41702.1) (انسان)، Ailuropoda melanoleuca (ADN34671.1) (پاندا)، Bos Taurus (ABX72063.1) (گوساله)، Canis lupus familiaris (ACI22684.1) (سگ)، Capra hircus (AFU82528.1) (بقر)، Cricetulus griseus (EGV95888.1) (همستر چینی)، Equus caballus (CAA02145.1) (اسب)، Felis catus (ABL74243.1) (گربه)، Macaca mulatta (EHH24077.1) (میمون)، Macaca fascicularis (EHH57361.1) (میمون دم دراز)، Myotis daubentonii (AEZ67293.1) (خفاش آبی)، Sus scrofa (AAB22723.1) (گوزن)، Mus musculus (P01575.1) (موس)، Ovis aries (AFU82527.1) (گوسفند)، Pteropus vampyrus (ADK11364.1) (خفاش میوه)، Roussettus aegyptiacus (BAF37103.1) (بزرگ)، Panthera tigris altaica (خفاش میوه خوار مصری) و NCBI (بیر سیری) از پایگاه داده ALJ03295.1 (پایگاه داده www.ncbi.nlm.nih.gov) با کدهای دسترسی که در پرانتز آمده است، به دست آمد. جهت بررسی روابط تکاملی و تفاوت ساختار اسید آمینه‌ای این پروتئین در

ایترفرون بتای انسانی می‌باشد که امروزه به صورت نوترکیب در سامانه باکتریایی تولید می‌شود. این پروتئین آنالوگ نوترکیب دارای مزایایی از قبیل عدم نیاز به گلیکوزیله شدن و بیان در سلول پستانداران می‌باشد. همچنین در موقعیت ۱۷ این پروتئین اسید آمینه سرین جایگزین سیستین شده است. با وجود چنین تفاوتی، این پروتئین نوترکیب به همان گیرنده‌های ایترفرون بتای طبیعی متصل می‌گردد<sup>(۳)</sup>. دو نوع پروتئین ایترفرون بتا نوترکیب وجود دارد: ایترفرون بتا ۱ بی که اولین درمان بهبود دهنده بیماری اسکلروز چند گانه (MS)<sup>(۴)</sup> بود که توسط سازمان غذا و دارو (FDA<sup>(۵)</sup>) مورد تایید قرار گرفت<sup>(۶)</sup> و ایترفرون بتا ۱ آ که آن هم برای درمان MS با مشخصات دارویی بسیار مشابه مورد استفاده قرار می‌گیرد<sup>(۵)</sup>. MS یک بیماری التهابی مزمن سیستم عصبی مرکزی است که بزرگسالان به خصوص جوانان را تحت تاثیر قرار می‌دهد. این بیماری از طریق وقوع عود کننده اختلالات عصبی ناشی از یک حمله خود ایمنی وابسته به سلول T علیه بافت‌های سیستم عصبی مرکزی مشخص می‌شود<sup>(۶)</sup>. پروتئین ایترفرون بتا ۱ بی سبب کاهش تعداد حملات در بیمارانی می‌شود که مبتلا به اسکلروز چند گانه عود کننده هستند. به طور متوسط استفاده از همه تولیدات ایترفرون بتا باعث کاهش حدود یک سوم میزان عود سالانه در بیماران مبتلا به MS می‌شود. مشاهدات حاصل از MRI نیز نشان دهنده ۵۰ تا ۷۰ درصد کاهش در فعالیت بیماری پس از مصرف این دارو بود<sup>(۷)</sup>. مطالعات دیگری در زمینه استفاده زود هنگام ایترفرون بتا در مواردی از بیماری انجام شد که موجب تاخیر در اولین حمله بیماری و تبدیل آن به MS قطعی کلینیکی و نیز تاخیر در پیشرفت ناتوانی اعضا می‌شود<sup>(۸)</sup>. تاکنون مطالعاتی در مورد بیان پروتئین ایترفرون بتا ۱ بی در باکتری اشرشیاکلی<sup>(۹)</sup>، پایدار سازی این پروتئین و عدم تشکیل

1. Multiple sclerosis

2. Food and Drug Administration

3. Magnetic Resonance Imaging

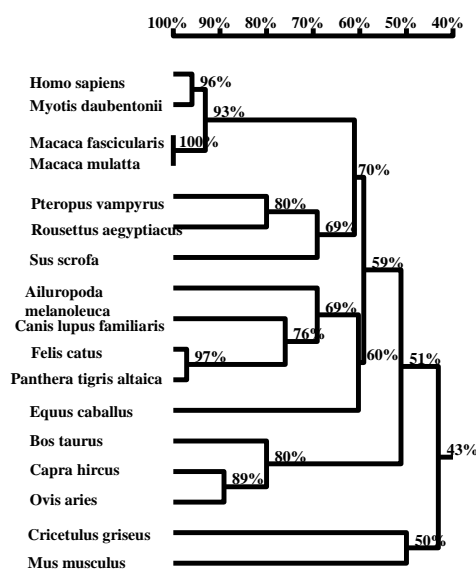
و پروتئین‌ها (STRING<sup>۱۰</sup> نسخه ۱۰) که یک پایگاه داده از اثرات متقابل پروتئینی شناخته و پیش‌بینی شده است، صورت گرفت (www. http://string-db.org). همچنین ساختار سه بعدی پروتئین اینترفرون بتا ۱ بی با استفاده از سرور Swiss-Model پیش‌بینی شد.

انسان و سایر گونه‌ها، توالی پروتئین اینترفرون بتای گونه‌های مختلف توسط نرم افزار DNAMAN نسخه ۸ همدیف شدند و سپس درخت تکاملی ترسیم و فوائل ژنتیکی بررسی شد.

### آنالیزهای بیوانفورماتیکی

توالی راهنمای پروتئین اینترفرون بتا ۱ بی توسط سرور SignalP 4.1 پیش‌بینی شد که مطمئن‌ترین ابزار با صحبت ۸۷ درصد (۱۲) بین نرم‌افزارها و ابزارهای پیش‌بینی توالی راهنمای پروتئین‌ها و مناطق برش آن‌ها است. این سرور به آدرس <http://www.cbs.dtu.dk/services/SignalP> در دسترس می‌باشد (۱۵). جهت پیش‌بینی منطقه تراوغشایی و جهت‌گیری‌های مرتبط با پروتئین اینترفرون بتا، از سرور TMpred به آدرس [http://www.ch.embnet.org/software/TMPRED\\_form.html](http://www.ch.embnet.org/software/TMPRED_form.html) استفاده شد. سرور ProtScale در پلت فرم Expasy به آدرس (<http://web.expasy.org/protscale/>) جهت پیش‌بینی ویژگی‌های فیزیکوشیمیایی شامل آب دوستی، قابلیت دسترسی، قطبیت، انعطاف‌پذیری، تغییرپذیری و بزرگی پروتئین اینترفرون بتا ۱ بی به کار رفت. سایر پارامترهای مختلف فیزیولوژیکی و فیزیکوشیمیایی پروتئین اینترفرون بتا ۱ بی شامل وزن مولکولی،<sup>۱</sup> شاخص آلیفاتیک، شاخص ناپایداری و نیمه عمر expasy پروتئین توسط سرور Protparam از پلت فرم (<http://web.expasy.org/protparam/>) ارزیابی شد. تغییرات پس از ترجمه پروتئین اینترفرون بتا شامل جایگاه‌های مانوزیله شدن، گلیکولیزه شدن و فریله شدن توسط سرور CBS (http://www.cbs.dtu.dk/services) پیش‌بینی شد.

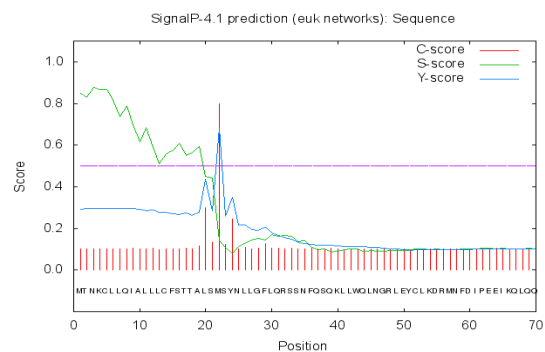
آنالیز اثر متقابل پروتئین-پروتئین اینترفرون بتا ۱ بی مطالعه اثر متقابل پروتئین-پروتئین با استفاده از تکنیک شبکه ژنی و ابزار جستجوی بازیابی تعامل ژن‌ها



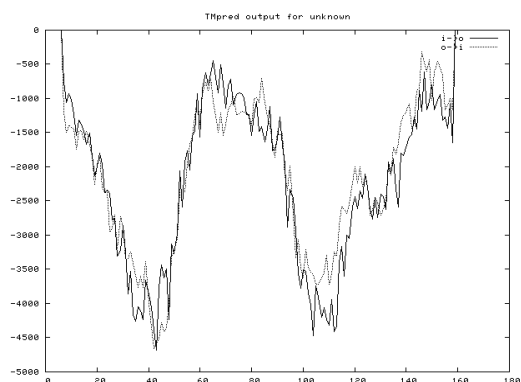
تصویر شماره ۱: تایید درخت تکاملی رسم شده توسط نرم افزار DNAman مقایسه رابطه تکاملی پروتئین اینترفرون بتای گونه‌ی انسان (Homo sapiens) (با سایر گونه‌های پستاندار، که پیشترین نزدیکی ساختاری با گونه‌ی خفاش آبی (Myotis daubentonii) (به میزان ۹۶ درصد و میمون (Macacus fascicularis) و میمون مدرار (Macaca mulatta) درصد و میمون (Mus musculus) (به میزان ۵۰ درصد مشاهده شد) به میزان ۹۳ درصد و پیشترین فاصله ژنتیکی با گونه‌های همسرچینی (Cricetus griseus) و موش خانگی (Mus musculus) (به میزان ۸۹ به میزان ۸۰ درصد و پیشترین فاصله ژنتیکی با گونه‌های همسرچینی (Capra hircus) و بز اوراسیات (Ovis aries) (به میزان ۷۶ درصد و پیشترین فاصله ژنتیکی با گونه‌ی گزنه (Equus caballus) (به میزان ۷۶ درصد و پیشترین فاصله ژنتیکی با گونه‌ی بز اوراسیات (Bos taurus) (به میزان ۸۰ درصد و پیشترین فاصله ژنتیکی با گونه‌ی بز اوراسیات (Capra hircus) (به میزان ۸۹ درصد و پیشترین فاصله ژنتیکی با گونه‌ی بز اوراسیات (Ovis aries) (به میزان ۴۳ درصد مشاهده شد.

2. Search Tool for the Retrieval of Interacting Genes/Proteins

1. Isoelectric Point



تصویر شماره ۲: پیش‌بینی توالی راهنمای سرور SignalP شامل خروجی‌های سرور SignalP شامل مواردی زیر است: ۱- نمره‌ی C (C-score) که محل برش را شناسایی می‌کند (۰/۸۰۰)، ۲- نمره‌ی S (S-score) که موقعیت توالی راهنمای تشخیص می‌دهد (۰/۸۷۷)، ۳- نمره‌ی Y (Y-score) که منطقی از نتایج نمره‌های C و S باشد. پیش‌بینی دقیق‌تر محل‌های برش نسبت به نمره‌ی C خام است (۰/۶۸۵). نتایج حاکی از وجود توالی راهنمای و محل برش بین اسید‌آمینه موقعیت ۲۱ و ۲۲ با توالی MS-ALS بود. محور افقی نشان‌دهنده توالی اسید‌آمینه و محور عمودی نمره‌های پیش‌بینی شده توسط سرور است.

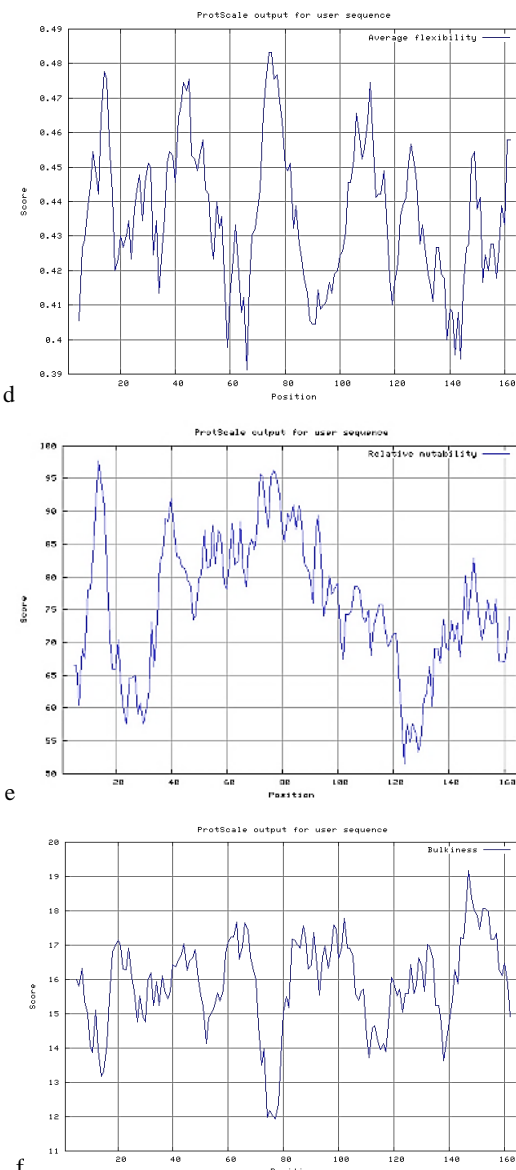


تصویر شماره ۳: پیش‌بینی منطقه تراغشایی پروتئین ایترفرون بتا ۱ بی‌توسط سرور TMpred. مارپیچ آلفا از داخل به خارج ( $>i>0$ ) و از خارج به داخل ( $i>0$ ) مشاهده نشد و تمام مقادیر زیر صفر بود. در حالی که تنها مقادیر بالای ۵۰۰ به صورت معنی دار در نظر گرفته می‌شوند. محور افقی نشان‌دهنده توالی اسید‌آمینه و محور عمودی مقادیر پیش‌بینی شده توسط سرور است.

پیش‌بینی آب دوستی، قابلیت دسترسی، قطیبت، انعطاف پذیری، تغییر پذیری و بزرگی به منظور بررسی برخی از پارامترهای بسیار مهم در مهندسی پروتئین و پروتئین‌های نوترکیب که شامل: آب دوستی، قابلیت دسترسی، قطیبت، انعطاف پذیری،

نتایج این آزمون نشان داد که توالی پروتئین ایترفرون ببا در گونه‌های پستانداران در طول زمان تقریباً حفاظت شده باقی مانده است. به نحوی که این اثر حفاظتی در گونه‌های نزدیک‌تر از نظر علم طبقه‌بندی زیست‌شناسی بیشتر بود. هم‌چنین این نتایج نشان دادند که پروتئین ایترفرون ببا انسانی به ترتیب بیشترین نزدیکی را از لحاظ ساختار اسید‌آمینه‌ای به خفاش آبی Macaca (Myotis daubentonii) با ۹۶ درصد و میمون (Macaca fascicularis) (mulatta) و میمون دم‌دراز (mulatta) با ۹۳ درصد داشت. از طرفی نتایج بررسی درخت تکاملی هم‌چنین نشان دادند که بیشترین فاصله ژنتیکی و ساختاری پروتئین ایترفرون ببا انسانی با توالی اسید‌آمینه این (Cricetus griseus) پروتئین در گونه‌های همسر چینی (Mus musculus) حاصل گردیده و موش خانگی (Mus musculus) حاصل گردیده است. به طوری که این پروتئین‌ها در دو گروه هاپلوتیپی مجزا قرار گرفته ولی با این وجود بخشی از ساختار آنها در طول فرآیند تکامل حفاظت شده باقی مانده است.

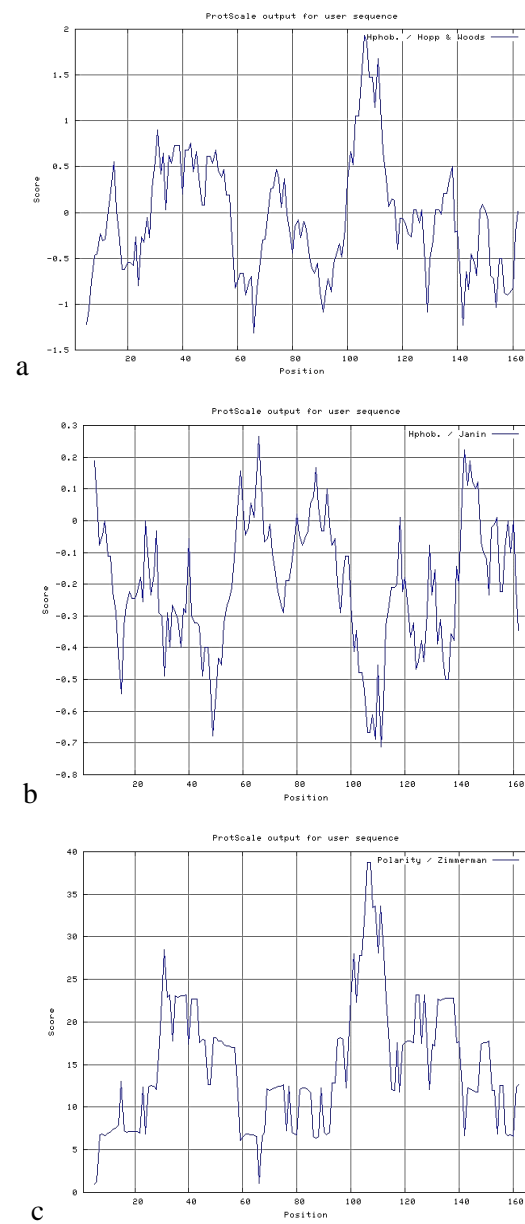
پیش‌بینی توالی راهنمای ایترفرون ببا ۱ بی‌توسط سرور SignalP 4.1 پیش‌بینی شد (تصویر شماره ۲). خروجی‌های حاصل از این پیش‌بینی شامل نمره‌های C و Y بودند که مقادیر همه آن‌ها بالاتر از مقدار استاندارد (۰/۵) برای تشخیص یک توالی به عنوان توالی راهنمای بود. همچنین در خروجی آنالیز انجام شده توسط این سرور، مقدار نمره D که معیار تمایز بین پروتئین‌های ترشحی و غیر ترشحی است، ۰/۶۷۹ بود. توالی‌های پروتئینی با نمره D بالاتر از ۰/۵ به احتمال زیاد توالی راهنمای دارند (۱۳). بنابراین پروتئین ایترفرون ببا ۱ بی‌دارای توالی راهنمای می‌باشد. سپس منطقه تراغشایی پروتئین ایترفرون ببا ۱ بی‌توسط سرور TMpred پیش‌بینی شد. نتایج به دست آمده نشان دادند که تمامی مقادیر زیر صفر بودند و هیچ مارپیچ آلفای احتمالی از داخل به خارج یا از خارج به داخل غشا یافت نشد (تصویر شماره ۳). بنابراین این پروتئین قادر منطقه تراغشایی می‌باشد.



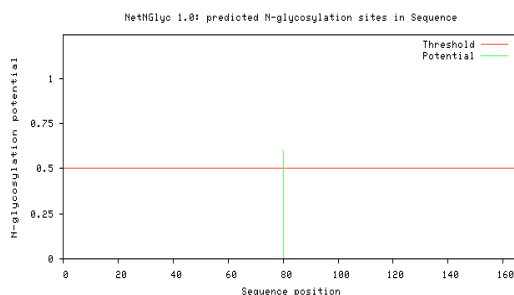
تصویر شماره ۴: آب دوستی (a)، قابلیت دسترسی (b)، قطیعت (c)، انعطاف پذیری (d)، تغییرپذیری (e) و بزرگی (f) پروتئین اینترفرون بتا ۱ بی توسط سرور protscale نموده ایتر نشان دهنده احتمال بالاتری برای هر یک از پارامترهای پیش بینی شده بود. محور افقی بالاتری برای هر یک از پارامترهای پیش بینی شده بود. محور افقی نشان دهنده موقعیت اسید آمینه (Position) و محور عمودی نمره مربوط به هر پارامتر است

بررسی قابلیت دسترسی پروتئین اینترفرون بتا ۱ بی توسط مقیاس Janin که نشان دهنده انرژی آزاد انتقال از داخل به خارج یک پروتئین کروی است محاسبه گردید (تصویر شماره ۴). نتایج این آنالیز نشان دادند که کمترین و بیشترین میزان دسترسی برای این پروتئین بین ۰/۷۱۱-۱۱۱ برای موقعیت اسید آمینه ۱۱۱ (فیل آلانین)

تغییرپذیری و بزرگی پروتئین بود از سرور معتبر Expasy که توسط پلت فرم آنالیز ایجاد شده است برای آنالیز پروتئین اینترفرون بتا ۱ بی استفاده شد. نمره های بالاتر نشان دهنده احتمال بالاتری برای هر یک از پارامترهای پیش بینی شده مربوط به پروتئین اینترفرون بتا ۱ بی بود. نتایج تجزیه تحلیل به درستی نشان داد که کمترین و بیشترین مقادیر آب دوستی پروتئین اینترفرون بتا ۱ بین ۱/۳۱۱-۱/۹۳۳ برای موقعیت اسید آمینه ۱۰۶ (لوسین) و ۱/۹۳۳ برای موقعیت اسید آمینه ۱۰۶ (لوسین) بود (تصویر شماره ۴).



مانوزیلاسیون نیز می‌باشد. مانوزیلاسیون در مواردی رخ می‌دهد که مقدار پیش‌بینی شده این نمره بالاتر از ۰/۵ باشد. از بین ۳ اسیدآمینه‌ی تریپتوفان موجود در موقعیت‌های ۲۲، ۷۹ و ۱۴۳ توالی پروتئین ایترفرون بتا ۱ بی، هیچ کدام نمره بالاتر از ۰/۵ را کسب نکردند. بنابراین در این توالی جایگاه مانوزیلاسیون پیش‌بینی نشد. جایگاه گلیکوزیلاسیون متصل به انتهای N برای NetNGlyc پروتئین ایترفرون بتا ۱ بی با استفاده از سرور NetNGlyc پیش‌بینی شد. نتایج نشان داد که فقط در جایگاه اسیدآمینه موقعیت ۸۰ (آسپارژین) پتانسیل گلیکوزیلاسیون به میزان ۰/۶۰ وجود دارد (تصویر شماره ۵). به طور موازی نیز از سرور NetOGlyc جهت پیش‌بینی جایگاه گلیکوزیلاسیون استیل گالاکتوزآمین متصل به انتهای O-GalNAc (O-GalNAc) نوع تراوش (mucin) در پروتئین ایترفرون بتا ۱ بی مورد استفاده قرار گرفت. نتایج نشان داد که نمره O گلیکوزیلاسیون در تمام جایگاه‌ها کمتر از ۰/۵ بوده و بنابراین جایگاهی برای O گلیکوزیلاسیون پیش‌بینی نشد.



تصویر شماره ۵: جایگاه گلیکوزیلاسیون متصل به انتهای N پروتئین ایترفرون بتا ۱ بی توسط سرور NetNGlyc. نتایج آنالیز نشان داد که پتانسیل گلیکوزیلاسیون در جایگاه اسیدآمینه موقعیت ۸۰ به میزان ۰/۶۰ وجود دارد. محور افقی نشان‌دهنده موقعیت توالی اسیدآمینه و محور عمودی نشان‌دهنده پتانسیل گلیکوزیلاسیون متصل به انتهای N است.

هم‌چنین از سرور NetPhos جهت آنالیز و پیش‌بینی جایگاه‌های فسفریلاسیون عمومی پروتئین

و ۰/۲۶۷ برای موقعیت اسیدآمینه ۶۶ (ایزوولوسین) بود. هم‌چنین قطبیت پروتئین ایترفرون بتا ۱ بی نیز محاسبه گردید (تصویر شماره ۶). کمترین و بیشترین میزان قطبیت به ترتیب بین ۰/۹۸۱ و ۰/۰۹۱ برای اسیدآمینه موقعیت ۵ (لوسین) و ۳۸/۷۵۳ برای اسیدآمینه در موقعیت ۱۰۷ (اسیدگلوتامیک) بود. انعطاف پذیری پروتئین ایترفرون بتا ۱ بی نیز توسط شاخص میانگین انعطاف پذیری مورد آنالیز قرار گرفت (تصویر شماره ۶). نتایج این آزمون نشان داد که کمترین و بیشترین مقادیر مربوط به انعطاف پذیری پروتئین بین ۰/۳۹۱ و ۰/۴۸۳ برای اسیدآمینه موقعیت ۷۶ (ایزوولوسین) و ۰/۴۸۳ برای اسیدآمینه موقعیت ۶۶ (سرین) متغیر بود. تغییر پذیری نسبی پروتئین ایترفرون بتا ۱ بی نیز مورد بررسی قرار گرفت (تصویر شماره ۶). نتایج این بررسی نشان دادند که کمترین و بیشترین مقادیر آن بین ۵۱/۴۴۴ و ۵۱/۴۴۴ برای اسیدآمینه موقعیت ۱۲۴ (آرژنین) و ۹۷/۶۶۷ برای اسیدآمینه موقعیت ۱۴ (آرژنین) بود. آنالیز مقادیر بزرگی (حجم) پروتئین ایترفرون بتا ۱ بی نشان داد که کمترین و بیشترین مقدار حجم به ترتیب بین ۱۱/۹۲۴ و ۱۱/۹۲۴ برای اسیدآمینه ۷۷ (ترئونین) و ۱۹/۱۸۱ برای اسیدآمینه موقعیت ۱۴۷ (آرژنین) متغیر بود (تصویر شماره ۶).

#### تغییرات پس از ترجمه

برای آنالیز ساختاری پروتئین ایترفرون بتا ۱ بی، پارامترهای مختلفی از تغییرات پس از ترجمه با استفاده از سرور CBS پیش‌بینی شد. ابتدا جایگاه استیلاسیون از نمره CBS توسط سرور NetAcet پیش‌بینی شد. نتایج این انتهای N بررسی نشان دادند که یک واکنش استیلاسیون بر روی اسیدآمینه سرین در موقعیت ۲ توالی با نمره ۰/۵۲۳ C پیش‌بینی می‌شود. سپس جایگاه مانوزیلاسیون انتهای C توسط سرور NetCGlyc به صورت آنلاین پیش‌بینی شد. در این سرور برای هر اسیدآمینه تریپتوفان در توالی ورودی اطلاعاتی پیش‌بینی می‌شود که شامل نمره

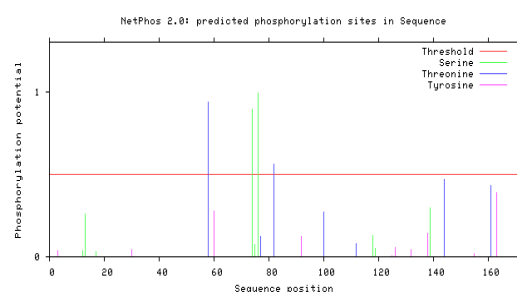
#### 1. Bulkiness

ثبت پروتئین در شرایط لوله آزمایش فراهم می‌آورد. پروتئین با شاخص ناپایداری کوچک‌تر از ۴۰ به عنوان پایدار و مقادیر بالاتر از ۴۰ به عنوان پروتئین ناپایدار پیش‌بینی می‌گردد(۱۵). شاخص ناپایداری پیش‌بینی شده برای پروتئین ایترفرون بتا ۱ بی، ۵۳/۹۵ پیش‌بینی شد. نتایج این پیش‌بینی نشان می‌دهد که این پروتئین یک پروتئین ناپایدار تحت شرایط لوله آزمایش است. شاخص آلفاگرام یک پروتئین به صورت حجم نسبی اشغال شده توسط زنجیره جانبی آلفاگرام (آلانین، والین، ایزو لوسین و لوسین) تعریف شده و نشان‌دهنده مقدار آب گریزی پروتئین است و یک عامل مثبت برای پایداری حیاتی پروتئین و ساختار سه بعدی آن محسوب می‌گردد. شاخص آلفاگرام برای این پروتئین ایترفرون بتا ۱ بی ۹۴/۵۸ بود. میانگین نسبی آب دوستی یا آب گریزی (GRAVY<sup>۱</sup>) پروتئین ایترفرون بتا ۱ بی نیز محاسبه شد. این میانگین از مجموع مقدار آب دوستی یا آب گریزی هر اسید آمینه، تقسیم بر طول پروتئین به دست می‌آید و مقدارش برای این پروتئین ۰/۴۴۷- بود. نتایج به دست آمده بیانگر آبگریز بودن نسبی پروتئین ایترفرون بتا ۱ بی می‌باشد. همچنین نیمه عمر برآورد شده پروتئین ایترفرون بتا ۱ بی در سلول پستانداران در شرایط آزمایشگاهی ۳۰ ساعت، در مخمر کمتر از ۲۰ ساعت و در باکتری اشرشیاکلی کمتر ۱۰ ساعت برآورد گردید.

#### آنالیز اثر متقابل پروتئین-پروتئین برای پروتئین ایترفرون بتا ۱ بی

پلت فرم STRING یک پایگاه داده از اثرات متقابل پروتئین‌های شناخته شده و پیش‌بینی شده است. نتایج این تجزیه و تحلیل نشان داد که پروتئین ایترفرون بتا ۱ بی فعالیت ضد رشد و ضد ویروسی دارد. نتایج این آنالیز حاکی از این بود که پروتئین ایترفرون بتا ۱ بی در مرکز شبکه با پروتئین‌های گیرنده ایترفرون ۱، فاکتور تنظیمی ۳ ایترفرون، پروتئین سرکوبگر پیام رسان

ایترفرون بتا ۱ بی استفاده شد. نتایج این آزمون نشان دادند که ۲ جایگاه فسفریلاسیون سرین برای پروتئین ایترفرون بتا ۱ بی پیش‌بینی می‌گردد. این احتمال در اسید آمینه موقعیت ۷۶ (سرین) نمره ۰/۸۹۵ و در اسید آمینه موقعیت ۷۶ (سرین) نمره ۰/۹۹۵ را به خود اختصاص داد. در این آزمون جایگاه‌هایی با نمره‌های بالاتر از ۰/۵ به عنوان جایگاه‌های محتمل برای فسفریلاسیون پیش‌بینی می‌شوند و هرچه این نمره‌ها بالاتر باشد، احتمال فسفریلاسیون بیشتر است(۱۶). هم‌چنین دو جایگاه برای فسفریلاسیون ترئونین در موقعیت اسید آمینه ۵۸ با نمره ۰/۹۳۵ و موقعیت اسید آمینه ۸۲ با نمره ۰/۵۶۳ پیش‌بینی شد (تصویر شماره ۶).



تصویر شماره ۶: تغییرات پس از ترجمه پروتئین ایترفرون بتا ۱ بی توسط سرور NetPhos ۲.۰. مقادیر بالاتر از حد آستانه (۰/۵) به عنوان جایگاه‌های محتمل برای فسفریلاسیون پیش‌بینی می‌شوند. دو جایگاه فسفریلاسون سرین و دو جایگاه فسفریلاسیون ترئونین در شکل دیده می‌شوند.

#### پارامترهای فیزیولوژیکی و فیزیکوشیمیایی پروتئین ایترفرون بتا ۱ بی

سرور ProtParam جهت پیش‌بینی پارامترهای فیزیولوژیکی و فیزیکوشیمیایی مختلف مورد استفاده قرار گرفت. نتایج به دست آمده نشان دادند که وزن مولکولی پیش‌بینی شده ۲۰۰۱۱ دالتون (۲۰ کیلو دالتون) و pH ایزوالکتریک تئوری آن ۹/۰۲ بود. فرمول خطی شیمیایی مربوط به پروتئین ایترفرون بتا ۱ بی به صورت  $C_{908}H_{1408}N_{246}O_{253}S_6$  تعداد کلی اتم‌های برآورد شده آن برابر با ۲۸۲۱ بود. شاخص ناپایداری تخمینی از

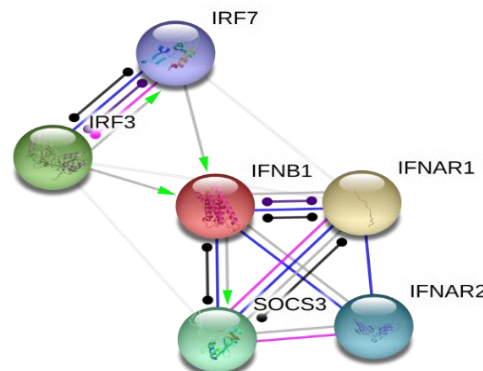
1. Grand Average of Hydropathicity

پیام رسان سایتو کاین ۳ جهت اعمال اثر تنظیمی و  
فعال سازی آبشارهای پایین دستی متصل می‌گردد.

## بحث

پروتئین ایترفرون بتا انسانی از خانواده پروتئین‌ها است. ایترفرون بتا در پاسخ به حضور عوامل خارجی نظیر ویروس‌ها، باکتری‌ها و حتی سلول‌های سرطانی در سلول‌های فیبروبلاست تولید می‌گردد<sup>(۱۶)</sup>. ایترفرون بتا در حالت طبیعی به گیرنده ایترفرون متصل می‌شود. این گیرنده دارای دو بخش IFNAR1 و IFNAR2 است و مسیر سیگنال رسانی JAK/STAT<sup>۱</sup> را فعال می‌کند که منجر به فسفیریله شدن دو زیر واحد STAT1 و STAT2 می‌شود. این دو با هم دایمر تشکیل داده و با فاکتور تنظیمی ایترفرون (IRF3) همراه می‌شوند تا به عناصر مسئول تحریک ایترفرون در هسته باند شوند. این اتصال سبب فعال سازی ژن‌های تحریک‌کننده ایترفرون می‌شود که سبب تولید محصولات ضد ویروسی، ضد تکثیری و ضد توموری می‌شود<sup>(۱۷)</sup>. در این مطالعه ساختار پروتئین ایترفرون بتا ۱ بی‌انسانی توسط ابزارهای بیوانفورماتیکی مورد بررسی قرار گرفت. توالی پروتئین ایترفرون بتای انسانی و سایر گونه‌ها هم ردیف شد و نتایج تجزیه و تحلیل درخت تکاملی حاکی از قربات ژنتیکی توالی پروتئینی ایترفرون بتا خفاش آبی (درصد) به توالی پروتئین ایترفرون بتای انسانی بود. از نتایج آنالیز In Silico به دست آمده می‌توان چنین استنباط نمود که با بکارگیری دانش مهندسی ژنتیک و استفاده از تکنیک جدید ویرایش ژنوم، شاید بتوان در آینده حیوانات تاریخی تولید نمود که به عنوان یک بیوراکتور زنده در خدمت صنایع دارویی جهت تولید پروتئین نوترکیب ایترفرون بتای انسانی در سطح انبوه باشند. از آنجا که شباهت ژنتیکی ساختار پروتئینی آن تا حدود ۹۶ درصد

سایتو کاین ۳، گیرنده ایترفرون ۲ و فاکتور تنظیمی ۷ ایترفرون در ارتباط بوده و اثر متقابل دارد (تصویر شماره ۷). نتایج آنالیز شبکه نشان داد که بالاترین نمره همکاری برآورد شده در شبکه پروتئینی برابر ۰/۹۹۱ و مربوط به پروتئین‌های گیرنده ایترفرون ۱ و فاکتور تنظیمی ۳ ایترفرون بود (جدول شماره ۱).



تصویر شماره ۷: نتایج آنالیز اثر متقابل پروتئین-پروتئین برای پروتئین ایترفرون بتا ۱ بی‌توسط پلت فرم STRING. در این تصویر اثرات متقابل پیش‌بینی شده بین پروتئین ایترفرون بتا ۱ بی و سایر پروتئین‌های همکار مشاهده می‌شود. این پروتئین اثر تنظیمی را با اتصال به پروتئین‌های گیرنده ایترفرون ۱ (IFNAR1)، گیرنده ایترفرون ۲ (IFNAR2) و پروتئین سرکوبگر پیام رسان سایتو کاین ۳ (SOCS3) اعمال می‌کند.

جدول شماره ۱: هم‌گروه‌های عملکردی پیش‌بینی شده‌ی پروتئین ایترفرون بتا ۱ بی: نتایج پیش‌بینی، ارزیابی و امتیاز مترتب به پروتئین‌های همکار با پروتئین ایترفرون بتا ۱ بی در شبکه ژنی به صورت زیر حاصل گردیده است

نمره	پروتئین
۰/۹۹۱	گیرنده ایترفرون (آلfa، بتا و گاما) ۱ (IFNAR1)
۰/۹۹۱	فاکتور تنظیمی ۳ ایترفرون (IRF3)
۰/۹۸۲	پروتئین سرکوبگر پیام رسان سایتو کاین ۳ (SOCS3)
۰/۹۶۲	گیرنده ایترفرون (آلfa، بتا و گاما) ۲ (IFNAR2)
۰/۹۹	فاکتور تنظیمی ۷ ایترفرون (IRF7)

نتایج به دست آمده نشان دادند که پروتئین ایترفرون بتا علاوه بر همکاری و اثر متقابل بر سایر پروتئین‌ها، به صورت مستقیم به پروتئین‌های گیرنده ایترفرون ۱، گیرنده ایترفرون ۲ و پروتئین سرکوبگر

1. Janus kinase (JAK)/ Signal Transducer and Activator of Transcription (STAT)

گلیکوزیلاسیون در موقعیت اسیدآمینه ۸۰ پروتئین ایترفرون بتا ۱ بی بود. البته به طور کلی پروتئین‌هایی که در سامانه‌های پروکاریوتی بیان می‌گردند بعید است که در معرض گلیکوزیلاسیون انتهای N قرار بگیرند. بنابراین حتی اگر شامل موتفیف‌های با پتانسیل گلیکوزیلاسیون باشند، گلیکوزیله نمی‌شوند. اما این مشکل با بیان آنها در سامانه‌های یوکاریوتی برطرف خواهد شد<sup>(۲۲)</sup>. پارامترهای فیزیکوشیمیایی مختلف ProtParam پروتئین ایترفرون بتا ۱ بی توسط سرور

آنالیز شد. شاخص آلفاتیک پروتئین ایترفرون بتا ۱ بی ۹۴/۵۸ بود. این مقدار شاخص آلفاتیک یک فاکتور مثبت افزایش پایداری ساختار کروی پروتئین در برابر حرارت محضوب می‌گردد<sup>(۲۳)</sup>. ۲ جایگاه فسفویلاسیون سرین و ۲ جایگاه فسفویلاسیون ترئونین در توالی این پروتئین پیش‌بینی شد. نتایج کلی حکایت از این داشت که پروتئین ایترفرون بتا ۱ بی در شرایط لوله آزمایش، پروتئینی ناپایدار است.

در حال حاضر کریستالوگرافی اشعه ایکس<sup>۱</sup>، NMR<sup>۲</sup> و cryo-EM<sup>۳</sup> سه روش رایج برای تعیین ساختار سه بعدی پروتئین‌ها می‌باشند. اما تمام این روش‌ها به مقادیر زیادی از پروتئین با خلوص بسیار بالا نیاز دارند که این امر یکی از المان‌های محدود کننده استفاده از این روش‌ها برای تعیین ساختار سه بعدی پروتئین‌ها محسوب می‌گردد<sup>(۲۴)</sup>. پیش‌بینی ساختار سه بعدی پروتئین‌ها با استفاده از توالی اسیدآمینه یک روش سودمند جهت صرفه‌جویی در زمان و هزینه علاوه بر بستر سازی مناسب برای مهندسی پروتئین می‌باشد. شکل سه بعدی پروتئین ایترفرون بتا ۱ بی نیز بر اساس روش SWISS-MODEL<sup>۴</sup> شیوه‌سازی و ترسیم شد که مبتنی بر شبکه عصبی مصنوعی و استفاده از روش HMMS<sup>۵</sup> بود<sup>(۲۶، ۲۵)</sup>. نتایج آزمون مدل‌سازی همولوژیک ایترفرون بتا ۱ بی در این مقاله نمایش داده نشده است.

1. X-ray crystallography  
2. Nuclear magnetic resonance  
3. Cryo-electron microscopy  
4. Hidden Markov Models

می‌باشد، پیش‌بینی می‌گردد که این پروتئین نوترکیب هیچ اثر سمی و مضری برای حیوان تاریخت نخواهد داشت<sup>(۱۹، ۱۸)</sup>. به علاوه این که خفاش از پستانداران و یوکاریوت‌های پیشرفتنه می‌باشد که این امر زمینه پیچش و تاخوردگی مناسب و صحیح پروتئین را نیز فراهم می‌آورد<sup>(۲۱، ۲۰)</sup>. هم‌چنین این نتایج بیانگر این نکته است که امکان استفاده از این شbahat ساختاری برای ساخت و تولید سایر پروتئین‌های دارویی با استفاده از بیوراکسورهای زنده نیز وجود دارد. این امر مستلزم بررسی‌های بیوانفورماتیکی و انجام مطالعات In Silico می‌باشد. منظور آشکارسازی این پتانسیل برای سایر پروتئین‌های دارویی می‌باشد. از دیگر نکات قابل توجه در تجزیه و تحلیل نتایج درخت تکاملی، نزدیکی و شbahat ژنتیکی ساختاری و تکاملی پروتئین ایترفرون بتا در گونه‌های هم‌خانواده بود به طوری که توالی اسیدآمینه‌ای پروتئین ایترفرون بتا در درون خانواده گریه سانان، اسب سانان، نشخوارکنندگان و ... کمترین فاصله ژنتیکی را داشته و این امر مؤید حفاظت توالی این پروتئین در طی دوره تکامل و اهمیت این پروتئین در سیستم ایمنی پستانداران می‌باشد. نتیجه‌ی آنالیز پلت فرم SignalP جهت یافتن توالی راهنمای در توالی این پروتئین مثبت بود و نشان داده شد که پروتئین ایترفرون بتا ۱ بی به صورت طبیعی دارای توالی راهنمای جهت هدایت این پروتئین است. طراحی، انتخاب و اتصال توالی راهنمای مناسب جهت هدایت این پروتئین به مکان صحیح و به صورت ترشحی می‌تواند راه کاری در جهت بهره‌برداری از تولید این پروتئین نوترکیب در تحقیقات آینده باشد. از این رو استفاده از پتانسیل بالقوه ابزارهای بیوانفورماتیکی و بکارگیری دانش مهندسی ژنتیک به منظور انتخاب توالی‌های راهنمای مناسب و جایگزین نمودن آن با توالی راهنمای وحشی راهکاری قابل تأمل برای بیان پروتئین در سامانه پروکاریوتی می‌باشد. پیش‌بینی تغییرات پس از ترجمه حاکی از احتمال وقوع استیلاسیون در اسیدآمینه موقعیت ۲ پروتئین ایترفرون بتا ۱ بی و

بخشی از یک سیستم بازخورد منفی کلاسیک هستند که سیستم تنظیم انتقال و هدایت سیگنال سایتوکاین را تشکیل می‌دهند. SOCS3 از طریق هدایت مسیر انتقال پیام JAK/STAT در تنظیم منفی سایتوکاین‌ها نقش دارد و حساسیت‌های آلرژیک را کاهش می‌دهد.<sup>(۳۴)</sup> به طور کلی و به صورت خلاصه اثرات محرك سیستم ایمنی ایترفرون بنا ۱ بی‌انسانی شامل: افزایش فعالیت سلول‌های T سرکوبگر، کاهش واکنش‌های پس التهابی تولید سیتوکاین (ضد التهابی)، کاهش بیان عرضه کننده‌های آنتی ژن، مهار و جلوگیری از انتقال لنفوسيت‌ها به سیستم عصبی مرکزی می‌باشد.<sup>(۳۵)</sup> در مجموع نتایج بررسی‌های بیوانفورماتیکی نشان دادند که پروتئین ایترفرون بنا ۱ بی‌پروتئینی ناپایدار، دارای توالی راهنمای و فاقد منطقه تراوغشایی است. همچنین نتایج بررسی In Silico پیشنهاد نمودند که طراحی توالي راهنمای مناسب برای افزایش ترشح این پروتئین دارویی می‌تواند منجر به افزایش کارایی تولید آنبوه این دارو در سامانه‌های متداول پروکاریوتی گردد. تمامی نتایجی که از آنالیزهای بیوانفورماتیکی پروتئین ایترفرون بنا ۱ بی در این پژوهش حاصل شد می‌تواند زمینه مطالعات بیشتر برای انجام آزمایشات عملی در آینده بر روی این پروتئین را فراهم آورد.

## سپاسگزاری

از معاونت پژوهش و فناوری دانشگاه گیلان که امکانات پژوهشی و تجهیزات سخت افزاری لازم جهت پیشرفت تحقیق حاضر را تأمین نمود و در اختیار محققان قرار داد، صمیمانه تشکر و قدردانی می‌شود.

## References

- Arora D, Khanna N. Method for increasing the yield of properly folded recombinant human gamma interferon from inclusion bodies. *J Biotechnol* 1996; 52(2): 127-133.
- Parkin J, Cohen B. An overview of the immune system. *Lancet* 2001; 357(9270): 1777-1789.
- Goodkin DE. Interferon beta-1b. *Lancet* 1994; 344(8929): 1057-1060.
- Marziniak M, Meuth S. Current perspectives on interferon Beta-1b for the treatment of multiple sclerosis. *Adv Ther* 2014; 31(9): 915-931.
- Croze E, Yamaguchi KD, Knappertz V, ۲۰۱۴

قابل پروتئین ایترفرون بنا ۱ بی و پروتئین‌های دیگر بر اساس پلت فرم STRING مورد بررسی قرار گرفت. نتایج تجزیه تحلیل اثر متقابل پروتئین بر روی پروتئین نشان داد که بیشترین تقابل بین پروتئین ایترفرون بنا ۱ بی و پروتئین گیرنده ایترفرون ۱ و همچنین فاکتور تنظیمی ۳ ایترفرون وجود دارد، که اتصال به گیرنده‌های ایترفرون سبب فعال‌سازی مسیرهای سیگنال رسانی JAK/STAT شده و این فعال‌سازی خود به صورت سلسه مراتبی سبب فعال شدن حدود ۱۰۰ پروتئین سیستم ایمنی ضد ویروسی می‌گردد.<sup>(۲۸,۲۷)</sup> فاکتور تنظیمی ۳ ایترفرون نقشی تنظیم کننده رونویسی پروتئین ایترفرون را دارد که فعالیت آن وابسته به پاسخ سیستم ایمنی بوده و نقش حیاتی در ایمنی ذاتی بر علیه DNA و RNA ویروسی بازی می‌کند.<sup>(۲۹-۳۱)</sup> محصولات آبشرار فعال سازی این پروتئین می‌توانند با راندمان مناسبی ژن‌های ایترفرون بنا و حتی آلفا را فعال نموده و به صورت غیر مستقیم سبب القای فعالیت ضد ویروسی از طریق مسیر مستقل MyD88 و TLR شده شوند.<sup>(۳۳,۳۲)</sup> به صورت کلی پروتئین ایترفرون بنا در مرکز شبکه به پروتئین‌های گیرنده ایترفرون ۱، پروتئین سرکوبگر پیام رسان سایتوکاین ۳ و گیرنده ایترفرون ۲ متصل می‌گردد و سبب فعال شدن همه پروتئین‌های مرتبط با آن می‌گردد. از آنجاکه همیشه کلیدی ترین پروتئین در مرکز شبکه قرار می‌گیرد این امر در مورد پروتئین ایترفرون بنا بیانگر نقش اصلی آن در فعال‌سازی پاسخ سیستم ایمنی می‌باشد. پروتئین‌های SOCS(Suppressor Of Cytokine Signaling) خانواده

- Reder AT, Salamon H. Interferon-beta-1b-induced short- and long-term signatures of treatment activity in multiple sclerosis. *Pharmacogenomics J* 2013; 13(5): 443-451.
6. Kolb-Maurer A, Goebeler M, Maurer M. Cutaneous adverse events associated with Interferon-beta treatment of multiple sclerosis. *Int J Mol Sci* 2015; 16(7):14951-1460.
7. Farrell RA, Giovannoni G. Current and future role of Interferon beta in the therapy of multiple sclerosis. *J Interferon Cytokine Res* 2010; 30(10): 715-726.
8. Kappos L, Freedman MS, Polman CH, Edan G, Hartung HP, Miller DH, et al. Effect of early versus delayed interferon beta-1b treatment on disability after a first clinical event suggestive of multiple sclerosis: a 3-year follow-up analysis of the benefit study. *Lancet* 2007; 370(9585): 389-397.
9. Rao DV, Ramu CT, Rao JV, Narasu ML, Rao AK. Cloning, high expression and purification of recombinant human Interferon- $\beta$ -1b in Escherichia coli. *Appl Biochem Biotechnol* 2009; 158(1):140-154.
10. Mahjoubi N, Fazeli MR, Dinarvand R, Khoshayand MR, Fazeli A, Taghavian M, et al. Preventing aggregation of recombinant Interferon beta-1b in solution by additives: Approach to an albumin-free formulation. *Adv Pharm Bull* 2015; 5(4): 497-505.
11. Abdolvahab MH, Fazeli A, Radmalekshahi M, Nejadnik MR, Fazeli MR, Schellekens H. An albumin-Free formulation for Escherichia coli derived Interferon beta-1b with decreased immunogenicity in immune tolerant mice. *J Interferon Cytokine Res* 2016; 36(3): 192-203.
12. Bendtsen JD, Nielsen H, Von Heijne G, Brunak S. Improved prediction of signal peptides: SignalP 3.0. *J Mol Biol* 2004; 340(4): 783-795.
13. Petersen TN, Brunak S, von Heijne G, Nielsen H. SignalP 4.0: discriminating signal peptides from transmembrane regions. *Nat Methods* 2011; 8(10): 785-786.
14. Blom N, Gammeltoft S, Brunak S. Sequence-and structure-based prediction of eukaryotic protein phosphorylation sites. *J Mol Biol* 1999; 294(5): 1351-1362.
15. Gasteiger E, Hoogland C, Gattiker A, Duvaud S, Wilkins MR, Appel RD, et al. Protein identification and analysis tools in the ExPASy server. In: *The Proteomics Protocols Handbook*. Walker JM. Totowa: Humana Press; 2005. p. 571-607.
16. Ghane M, Yakhchali B, Khodabandeh M, Malekzadeh F. Design, construction, and expression of a synthetic  $\beta$ -Interferon (IFN- $\beta$ ) gene in *E. coli*. *Pak J Biol Sci* 2006; 9: 2922-2926.
17. Kasper LH, Reder AT. Immunomodulatory activity of interferon-beta. *Ann Clin Transl Neurol* 2014; 1(8):622-631.
18. Houdebine LM. Production of pharmaceutical proteins by transgenic animals. *Comp Immunol Microbiol Infect Dis* 2009; 32(2):107-121.
19. Wang Y, Zhao S, Bai L, Fan J, Liu E. Expression systems and species used for transgenic animal bioreactors. *Bio Med Res Int* 2013; 2013
20. Dalton AC, Barton WA. Over-expression of secreted proteins from mammalian cell lines. *Protein Sci* 2014; 23(5): 517-525.
21. Khan KH. Gene expression in mammalian cells and its applications. *Adv Pharm Bull* 2013; 3(2): 257-263.
22. Skoko N, Argamante B, Grujicic NK, Tisminetzky SG, Glisin V, Ljubijankic G. Expression and characterization of human interferon-beta1 in the methylotrophic yeast

- Pichia pastoris. *Biotechnol Appl Biochem* 2003; 38(3): 257-265.
23. Shen P, Zhang H, Su Z, Wang S, Xu H. In silico analysis of tumor necrosis factor alpha induced protein 8-like-1 (TIPE1) protein. *PLoS ONE* 2015; 10(7): e0134114.
  24. Dorn M, MB ES, Buriol LS, Lamb LC. Three-dimensional protein structure prediction: Methods and computational strategies. *Comput Biol Chem* 2014; 53: 251-276.
  25. Arnold K, Bordoli L, Kopp J, Schwede T. The SWISS-MODEL workspace: a web-based environment for protein structure homology modelling. *Bioinformatics* 2006; 22(2):195-201.
  26. Kiefer F, Arnold K, Kunzli M, Bordoli L, Schwede T. The SWISS-MODEL Repository and associated resources. *Nucleic Acids Res* 2009; 37: 387-392.
  27. Russell-Harde D, Wagner TC, Perez HD, Croze E. Formation of a uniquely stable type I interferon receptor complex by interferon beta is dependent upon particular interactions between interferon beta and its receptor and independent of tyrosine phosphorylation. *Biochem Biophys Res Commun* 1999; 255(2): 539-544.
  28. Zhu F, Han B, Kumar P, Liu X, Ma X, Wei X, et al. Update of TTD: Therapeutic target database. *Nucleic Acids Res* 2010; 38: 787-791.
  29. DeWitte-Orr SJ, Mehta DR, Collins SE, Suthar MS, Gale M, Jr, Mossman KL. Long double-stranded RNA induces an antiviral response independent of IFN regulatory factor 3, IFN-beta promoter stimulator 1, and IFN. *J Immunol* 2009; 183(10):6545-6553.
  30. Fredericksen B, Akkaraju GR, Foy E, Wang C, Pflugheber J, Chen ZJ, et al. Activation of the interferon-beta promoter during hepatitis C virus RNA replication. *Viral Immunol* 2002; 15(1): 29-40.
  31. Lin L, Pan S, Zhao J, Liu C, Wang P, Fu L, et al. HSPD1 interacts with IRF3 to facilitate interferon-beta induction. *PLoS ONE* 2014; 9(12): e114874.
  32. Hiscott J. Triggering the innate antiviral response through IRF-3 activation. *J Biol Chem* 2007; 282(21): 15325-15329.
  33. Seth RB, Sun L, Chen ZJ. Antiviral innate immunity pathways. *Cell Res* 2006; 16(2): 141-147.
  34. Akhtar LN, Qin H, Muldowney MT, Yanagisawa LL, Kutsch O, Clements JE, et al. Suppressor of cytokine signaling 3 inhibits antiviral IFN-beta signaling to enhance HIV-1 replication in macrophages. *J Immunol* 2010; 185(4): 2393-2404.
  35. Miller A, Lanir N, Shapiro S, Revel M, Honigman S, Kinarty A, et al. Immunoregulatory effects of interferon-beta and interacting cytokines on human vascular endothelial cells. Implications for multiple sclerosis autoimmune diseases. *J Neuroimmunol* 1996; 64(2):151-161.
  36. Smith BT. Concepts in Immunology and Immunotherapeutics. 4<sup>th</sup> ed. Maryland ASHP; 2008.